

## بررسی مقایسه ای بردارهای ویژه و محورهای اصلی تنش دیرین در تعیین تیپ دگریختی بخش جنوبی البرز مرکزی

محسن الیاسی

گروه زمین شناسی، دانشکده علوم، دانشگاه تهران

Email: Eliassi@khayam.ut.ac.ir

میرعلی اکبر نوگل سادات

موسسه تحقیقات علوم و فنون زمین

منوچهر قریشی

سازمان زمین شناسی کشور

(دریافت: ۷۹/۶/۳۰؛ پذیرش: ۱۱/۲۹)

### چکیده

بمنظور تعیین تیپ دگریختی در بخش جنوبی البرز مرکزی با تکاء برداشتیا صحرائی روی سطوح برش دارای خش لغزش ابتدا با مناسبترین روش با رسم دووجهی های عمود بر هم (dihedra) در ۲۸ ایستگاه وضعیت محورهای اصلی تنش دیرین پس از آنوسن تعیین و نتیجه حاصل با بردارهای ویژه توزیع داده ها مقایسه گردید. بردارهای ویژه  $v_3, v_2, v_1$  بترتیب با محورهای اصلی تنش  $\sigma_1, \sigma_2, \sigma_3$  انطباق بسیار مناسبی را نشان دادند. با در اختیار داشتن موقعیت محورهای اصلی تنش دیرین و تحلیل استریو گرافیک آن با مدلها ایده‌آل، تیپ دگریختی از نوع تراکمی شعاعی (radial compressional) شناسائی گردید.

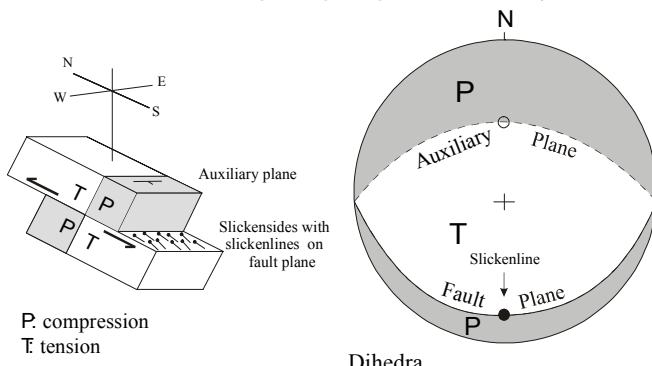
واژه های کلیدی: تنش دیرین، تحلیل صفحات گسل، تیپ دگریختی، بردار ویژه.

## ۱- مقدمه

برای تحلیل تیپ دگریختی در بخش جنوبی البرز مرکزی در ابتدا به کمک داده‌های رقومی تصاویر ماهواره‌ای Landsat-4 بوسیله نرم‌افزار ER-MAPPER با انتخاب مناسبترین باند(3 4 5 RGB) و بهترین فیلتر پردازش‌های تصویری لازم صورت گرفت و سپس به کمک نرم‌افزار MAP INFO نقشه ساختاری دقیق منطقه با مناسبترین محدوده‌های برداشت صحرائی با مقیاس یک صد هزارم تهیه گردید. خلاصه شده نقشه مورد نظر با محدوده‌های برداشت داده‌های صحرائی که بصورت خط‌چین مشخص شده در نقشه ۱ ارائه گردیده است (قابل ذکر است کلیه داده‌ها، نقشه‌های تهیه شده و تصاویر در رساله دکتری موجود می‌باشد). لازم به ذکر است در موارد محدودی که خشن لغزش بدلیل خطای متداول برداشت روی سطح برش قرار نگرفته، آنرا در محل تلاقی صفه برش با صفحه‌هایی که از قطب برش و خشن عبور کرده در نیمکره پایین شبکه اشمیت تصویر و تصحیح شده است.

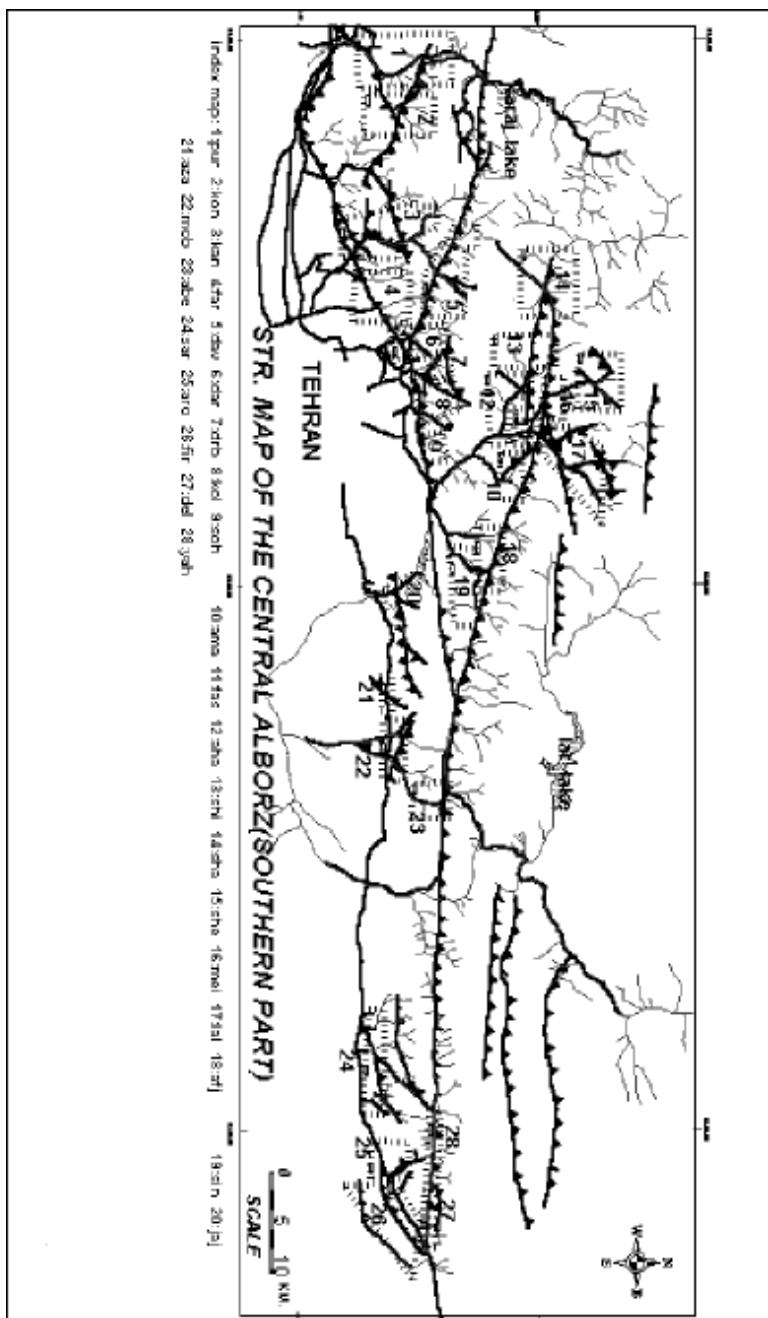
## ۲- روش تحلیل صفحه گسل (fault plane solution)

با رسم خشن لغزش و دو صفحه کمکی (auxiliary plane) یکی موازی صفحه گسل و دیگری عمود بر آن، می‌توان محدوده تنشهای اصلی را مطابق آنچه که در تعیین سازوکار کائونی زمین‌لرزه‌ها (focal mechanism) بصورت مدل دو وجهی (dihedral model) که با تفکیک پولاریته امواج برشی و یا طولی متداول است به آنالیز تنشهای دیرین دست زد (Pfiffer, 1987). در عمل می‌بایستی صفحه کمکی را عمود بر صفحه گسل به گونه‌ای در نیمکره پائین شبکه اشمیت رسم کرد که قطب آن خشن لغزش باشد (شکل ۱).

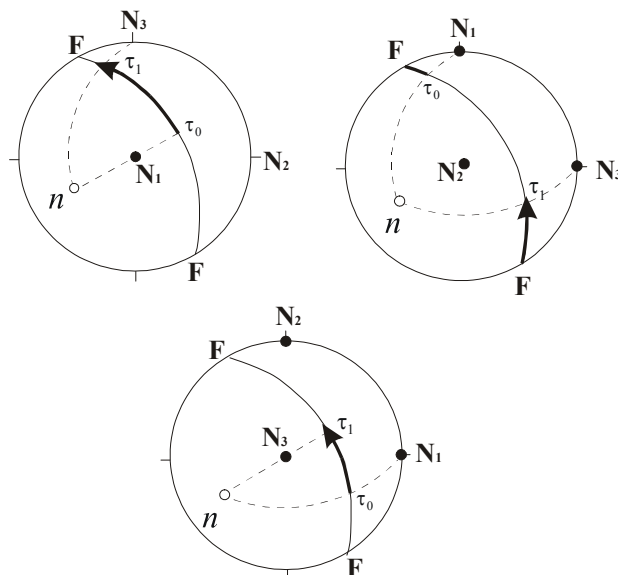


شکل ۱- نمایش بلوك‌دیاگرام هندسه صفحه گسل، خشن لغزش و صفحه کمکی و استریوگرام دو وجهی آن روی نیمکره پائین شبکه اشمیت.

نقشه ۱ - نقشه ساختاری منطقه



در یک میدان تنش مشخص که محورهای اصلی تنش کاملاً تعریف شده‌اند در صورتیکه شکل هندسی بیضوی تنش با در دست داشتن فاکتورشکل ( $R$ ) معلوم باشد براحتی می‌توان روی هر صفحه موقعیت خشن لغزش را پیش‌بینی نمود. در روش عکس، با داشتن صفحه برش و خشن لغزش روی آن می‌خواهیم حالت میدان تنش را بدست آوریم. در این راستا محدودیت‌های پیش می‌آید. در حالتی که یکی از تنش‌های اصلی قائم باشد، محورهای اصلی تنش را به ترتیب  $N_1, N_2, N_3$  و سطحی را که می‌خواهیم موقعیت خشن را روی آن بدست آوریم با  $F$  نمایش می‌دهیم. کافی است از قطب صفحه برش ( $n$ ) و بزرگترین و کوچکترین تنش اصلی ( $N_1, N_3$ ) دوایری در نیمکره پائین شبکه اشمیت عبور داده محل تلاقی آنرا با صفحه برش بترتیب با  $\tau_0$  و  $\tau_1$  مشخص نمائیم (شکل ۲). بخشی از صفحه برش که بین  $\tau_0$  و  $\tau_1$  قرار گرفته حدود تغییرات بردار لغزش را بر حسب شکل هندسی بیضوی تنش مشخص می‌کند (Angelier, 1988).



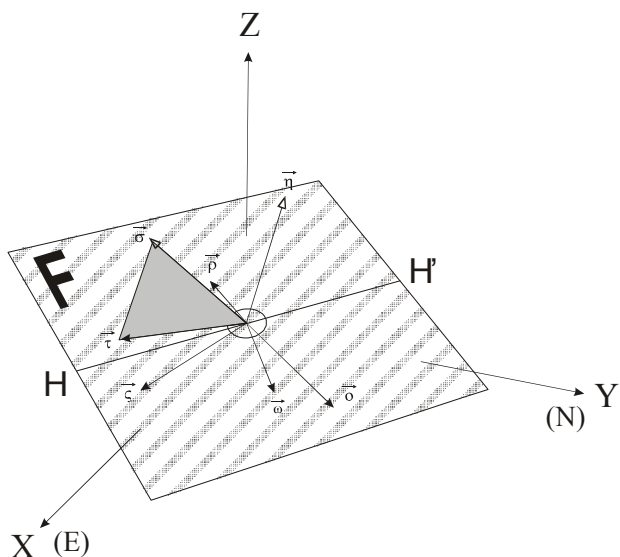
شکل ۲-حدود تغییرات بردار لغزش بر حسب قائم بودن یکی از محورهای اصلی تنش

در صورتیکه فاکتورشکل ( $R$ ) از صفر تا یک تغییر کند، محل بردار لغزش از  $\tau_0$  تا  $\tau_1$  در طول برداری که روی شکل مشخص شده تغییر خواهد کرد. در بخش جنوبی البرز مرکزی با رسم دوایر مور سه محوری بدون مقیاس، دقیقاً شکل هندسی بیضوی‌های تنش تعیین شده است (مقاله در دست چاپ). حال با توجه به فاکتورشکل و داده‌های برداشت‌شده در محدوده‌های مورد مطالعه با حل تنسور تنش موقعیت محورهای اصلی تنش دیرین بدست می‌آید.

### ۳-تحلیل ریاضی وضعیت محورهای اصلی تنش

به منظور تحلیل ریاضی محورهای اصلی تنش کلیه پارامترهای روی صفحه برش را مورد بررسی قرار می دهیم. در صورتیکه  $F$  صفحه برش و  $H'$  امتداد صفحه برش باشد می توان جهت بردار واحد لغزش  $S$  روی صفحه برش را با توجه به حرکت فرادیواره نسبت به فرادیواره مشخص نمود.

$n$ . بردار واحد عمود بر صفحه برش است (شکل ۳).



شکل ۳- هندسه صفحه گسل و تنشهای اعمال شده روی صفحه گسل.

شکل ۳ گسل را معکوس با مؤلفه راستا لغز چپگرد نشان می دهد.  $\mathbf{o}$  بردار واحد روی صفحه برش است بطوریکه:  $\mathbf{o} = n \Lambda s$ . اگر به صفحه برش تنش  $\sigma$  اعمال شود این تنش مؤلفه ای در راستای  $n$  بعنوان تنش نرمال و مؤلفه ای مانند  $\tau$  بعنوان تنش برشی روی صفحه  $F$  خواهد داشت. می توان نوشت:  $\sigma = T \cdot n$  (T تنسور تنش است). بردار  $\omega$  روی صفحه برش است بطوریکه:  $\omega = n \Lambda \sigma = n \cdot \tau$  و بالاخره  $p$  مؤلفه  $\sigma$  و  $\tau$  در صفحه برش موازی  $\mathbf{o}$  می باشد.

بطوریکه:  $p = o \cdot \sigma = o \cdot \tau$  محورهای فیزیکی مکان، x، y و z می باشند.

تحلیل ریاضی وضعیت فوق بر پایه به حداقل رساندن زاویه بین خشن لغزش و بردار لغزش (Least Square Minimization) یعنی زاویه بین  $S$  و  $\tau$  بکمک به حداقل رساندن مربع حداقل استوار است (Angelier & Goguel, 1978). با توجه به محورهای فیزیکی مکان، مؤلفه های تنسور تنش با ماتریس زیر قابل بیان می باشد:

$$\begin{bmatrix} e & d & \cos R \\ f & \cos(R + \frac{2\pi}{3}) & d \\ \cos(R + \frac{4\pi}{3}) & f & e \end{bmatrix}$$

R : زاویه خش لغزش با برش حداکثر و e ، d و f پارامترهای ثابت ماتریس می‌باشند.

تابعی که باید به حداقل برسد به صورت زیر می‌باشد:

$$S = \sum_{k=1}^{k=x} p^2 \cdot x$$

k تعداد برداشت‌های روی زمین است که می‌تواند از یک تا x تغییر کند. واضح است برای به حداقل رساندن تابع S ، کافی است از آن مشتق جزئی گرفته مساوی صفر قرار داده شود. در این صورت با حذف چهارتا از مشتق‌ات جزئی S نسبت به d, e, f, R چهار معادله برای بدست آوردن آنها بوجود می‌آید. باین ترتیب باداشتن مقادیر R, d, e, f براحتی می‌توان موقعیت محورهای اصلی تنش را بدست آورد.

#### ۴- ارتباط بردارهای ویژه با تنشهای اصلی

در زمین‌شناسی ساختمانی می‌توان هر ساخت یک بعدی جهت‌دار را بعنوان یک بردار واحد در نظر گرفت. در نیمکره پائین شبکه اشمیت سه محور فیزیکی مکان x, y, z بترتیب در جهت شمال، خاور و قائم رو به پائین تعريف نموده خطوط هادی (direction cosine) هر بردار را بترتیب با l, m, n مشخص می‌نماییم. به ازاء مجموع N برداشت، شکل توزیع بردارها از ماتریس مجموع حاصل ضرب‌های متقاطع خطوط هادی بصورت زیر تعیین می‌گردد  
(Wood cock, 1977)

$$T = \begin{bmatrix} \sum l^2 & \sum lm & \sum ln \\ \sum ml & \sum m^2 & \sum mn \\ \sum nl & \sum nm & \sum n^2 \end{bmatrix}$$

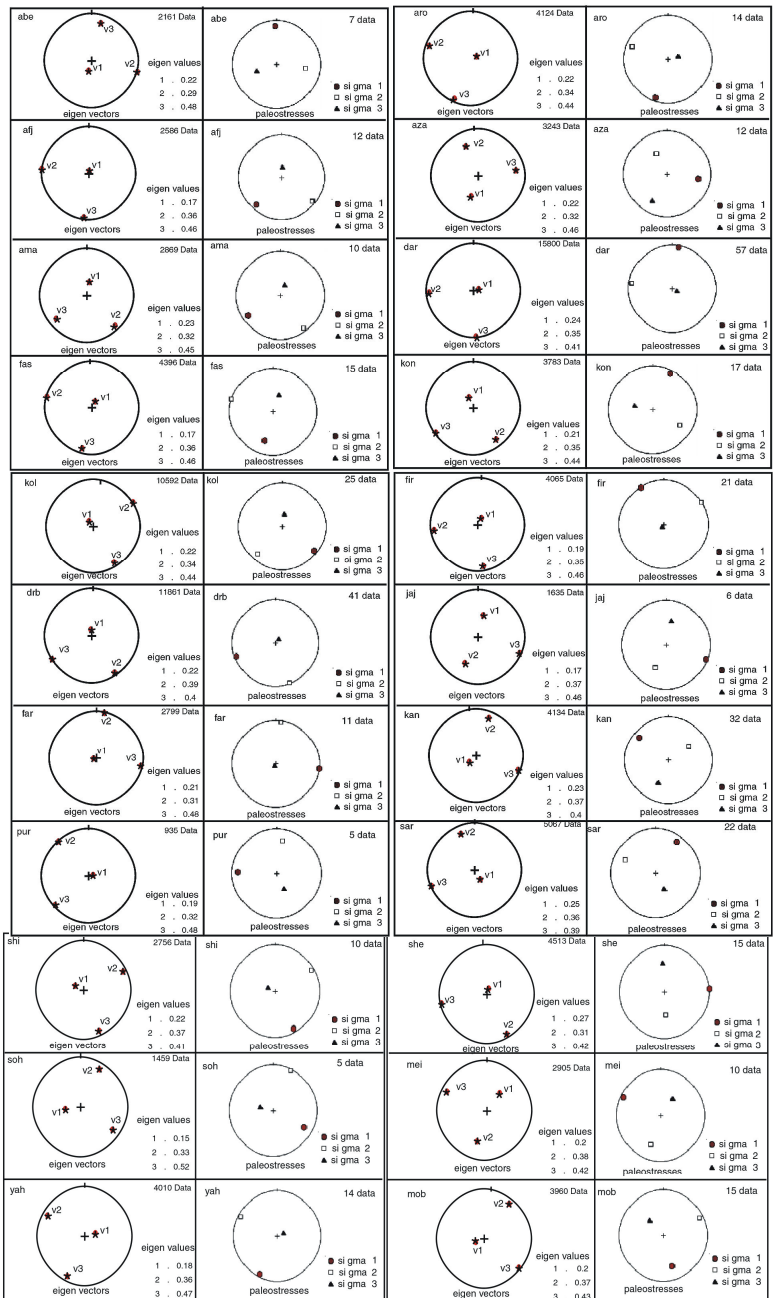
بهتر است در عمل از حالت نرمالیزه ماتریس فوق یعنی  $T/N$  استفاده شود که در این صورت این حالت تنسور وضعیت داده‌ها خواهد (Scheidegger, 1965).  
بردارهای ویژه  $v_1, v_2, v_3$  مربوط به  $N$  وضعیت داده‌ها از رابطه زیر بدست می‌آید (vollmer, 1990).

$$M = \sum I_i \cdot I_i^T$$

$I_i$  ترانهاده  $I_i$  (transpose) می‌باشد.  $\sum I_i$  از یک تا N تغییر می‌کند.

##### ۵- پردازش داده ها در بخش جنوبی البرز مرکزی

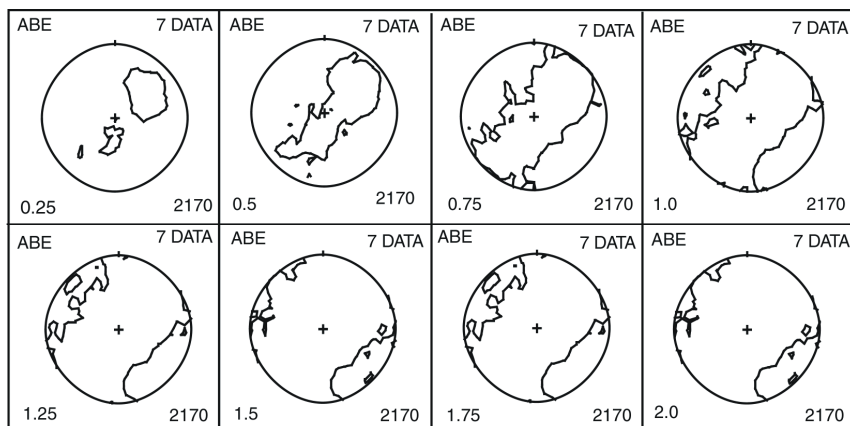
در بخش جنوبی البرز مرکزی در ۲۸ محدوده (نقشه ۱) ابتدا با روش تحلیل صفحه گسل موقعیت محورهای اصلی تنش دیرین مشخص گردید و سپس ۲۲ محدوده جهت آنالیز بردار ویژه انتخاب گردید (محدوده های DAV,AHA,SHA,LAL,SIN,DEL که از نظر انتخاب مناسب ترین داده ها از نظر آماری تاثیری روی نتیجه نهائی نداشتند حذف گردیدند). نتایج بدست آمده از آنالیز بردارهای ویژه با نتایج محورهای اصلی تنش مورد مقایسه قرار گرفت (شکل ۴). تصاویر استریوگرافیک انتطاب بسیار آشکاری بین محورهای اصلی تنش دیرین و بردارهای ویژه مربوط به توزیع داده ها را مشخص مینمایند. بردار ویژه  $\lambda_1$  مربوط به کوچکترین مقدار ویژه  $\lambda_3$  با کوچکترین تنش تراکمی اصلی  $\sigma_3$  انتطاب دارد و دودر حالیکه بردار ویژه  $\lambda_3$  مربوط به بزرگترین مقدار ویژه  $\lambda_1$  با بزرگترین تنش تراکمی اصلی  $\sigma_1$  انتطاب میباشد. بردار ویژه  $\lambda_2$  مربوط به مقدار ویژه متوسط  $\lambda$  با متوسط تنش تراکمی اصلی  $\sigma_2$  انتطاب دارد. دلیل عدم انتطاب کامل در برخی از محدوده ها ناهمگی است که در برداشت داده ها روی زمین صورت گرفته که این موضوع بدلیل توپوگرافی بسیار شدید البرز و عدم دسترسی به کلیه صفحات برش است که طبیعتاً امری اجتناب ناپذیر میباشد. این نتیجه نشان می دهد در صورتیکه برداشت کافی روی زمین صورت گرفته باشد عدم انتطاب بین محورهای مزبور می تواند ناشی از عدم استفاده از متد مناسب در تعیین موقعیت محورهای اصلی تنش باشد (Saintot, 2000). در این پژوهش نتایج بدست آمده از مقایسه متدهای مختلف با بردارهای ویژه نشان می دهد بهترین روش، تحلیل صفحه گسل است که توضیح آن قبلآ داده شد.



شکل ۴- تصاویر استریو گرافیک محورهای اصلی تنش و بردارهای ویژه در بخش جنوبی البرز مرکزی.

#### ۶- تعیین تیپ دگریختی در شرایط شکننده

بمنظور تعیین تیپ دگریختی در هر محدوده با متدهای حل صفحه گسل، مدل دووجهی‌های هر صفحه برش دارای خش لغزش را دقیقاً تعیین و در بخش‌هایی که محل بزرگترین تنش تراکمی اصلی است ردیفهایی از نقاط افقی بصورت همگن در نظر می‌گیریم. عمل مذبور عیناً در مورد کلیه صفحات برش یک محدوده انجام می‌گیرد (Yamaji, 2000). با روی هم قرار دادن دو وجهی‌ها چگالی نقاط در بخش‌های مذبور در فصل مشترک آنها بشدت افزایش می‌یابد. حال با رسم کنتورهای هم چگالی براحتی می‌توان تیپ دگریختی را در آن محدوده تعیین نمود. نکته قابل توجه، تعیین فاصله کنتورها (Interval) است به نحوی که بهترین شکل را برای آنالیز دگریختی در اختیار قرار دهد. در این زمینه تستهای گوناگونی در بخش جنوبی البرز مرکزی صورت گرفته که بعنوان نمونه بیک مورد اشاره می‌شود. در محدوده آبعالی (نقشه-۱ ABE) هفت صفحه برش دارای خش لغزش برداشت شدند که پس از پردازش بروش فوق الذکر تعداد داده‌های پردازش شده به ۲۱۷۰ داده ارتقاء یافت. کنتورهایی بترتیب بقواصل رسم گردید (شکل ۵). بوضوح می‌توان مشاهده کرد مناسبترین فاصله کنتوری ۰.۵ می‌باشد که این فاصله برای کلیه داده‌ها تعمیم داده شد.



شکل ۵- مقایسه فواصل کنتوری مختلف در تشخیص تیپ دگریختی در محدوده ABE داخل کنتور محل ۱ می‌باشد.

#### ۱-۶ الگوهای استریوگرافیکی تیپهای دگریختی در حالت ایده‌آل

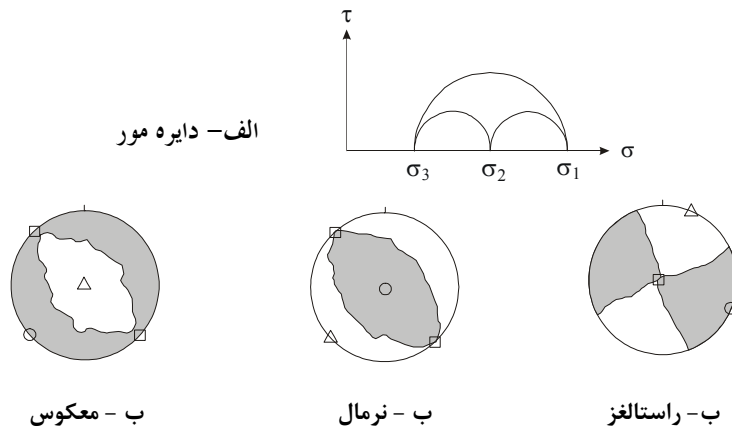
در آنالیز تیپ دگریختی در هر محدوده رمینساختی مشخص، دو پارامتر نقش اساسی ایفا می‌کند: یکی موقعیت محورهای اصلی تنش و دیگری شکل هندسی بیضوی تنش که در این مقاله با فاکتور شکل (R) طبق رابطه زیر مشخص شده است (Angelier, 1988).

$$R = \frac{\sigma_2 - \sigma_3}{\sigma_1 - \sigma_3}$$

در صورتیکه  $\sigma_2$  بترتیب بسمت  $\sigma_3$  و  $\sigma_1$  میل کند R بترتیب بسمت صفر و یک میل خواهد کرد ( $R < 1$ ). فاکتور شکل در محدوده‌های مورد مطالعه در بخش جنوبی البرز مرکزی با متدهای مختلف تعیین گردیده است که از ذکر آن در اینجا خودداری می‌شود (دردست چاپ). تیپهای دگریختی در حالت ایده‌آل را می‌توان در سه حالت کلی زیر مورد بررسی قرار داد:

$$R = 0.5 - 1 \quad \text{در اینصورت } \frac{\sigma_1 + \sigma_3}{2} = \sigma_2 \text{ یعنی تنش اصلی متوسط، میانگین حسابی دو}$$

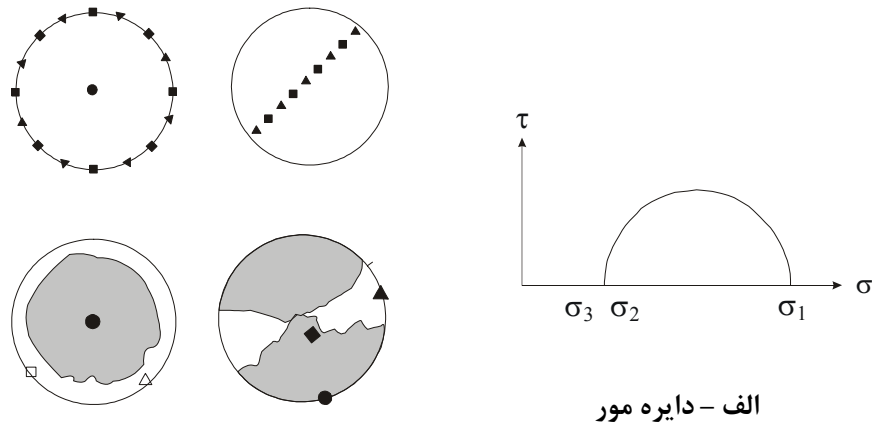
تنش اصلی دیگر بوده که از نظر بزرگی معادل تنش غیرانحرافی (nondeviatoric stress) است که صرفاً باعث تغییر حجم (dilation) سنگ می‌گردد. تحت یک چنین شرایط تنش، وضعیت دایره مور شکل متقاضی خواهد داشت (شکل ۶-الف). تصویر استریوگرافیک داده‌های پردازش شده با رسم کنتور بفاصله ۰.۵ با قائم بودن یکی از محورهای اصلی تنش تیپ دگریختی را بوضوح نشان می‌دهد. طبق تئوری آندرسون با قائم بودن  $\sigma_1$ ،  $\sigma_2$  و یا  $\sigma_3$  تیپ دگریختی بترتیب تراکمی، کششی و راست‌لغز خواهد بود (شکل ۶-ب).



شکل ۶- دایره مور و تیپ دگریختی در شرایط  $R = 0.5$

۲ -  $R = 0$  در این صورت  $\sigma_3 = \sigma_2$ . در این شرایط شکل هندسی بیضوی تنش، محوری و کشیده بوده (axial & prolate)، شکل ظاهری دایره مور شبیه سیستم های دو محوری است (شکل ۷-الف). توزیع محورهای  $\sigma_2$  و  $\sigma_3$  روی دایره بزرگ استریونت بوده که دو حالت انتهائی آن بصورت زیر است (شکل ۷-ب).

الف- در صورتیکه مکان هندسی محورهای  $\sigma_2$  و  $\sigma_3$  روی دایره افقی استریونت باشد تیپ دگر ریختی کششی شعاعی (Radial Extentional) می باشد.



ب - انتقال تراکمی    ب - کششی شعاعی

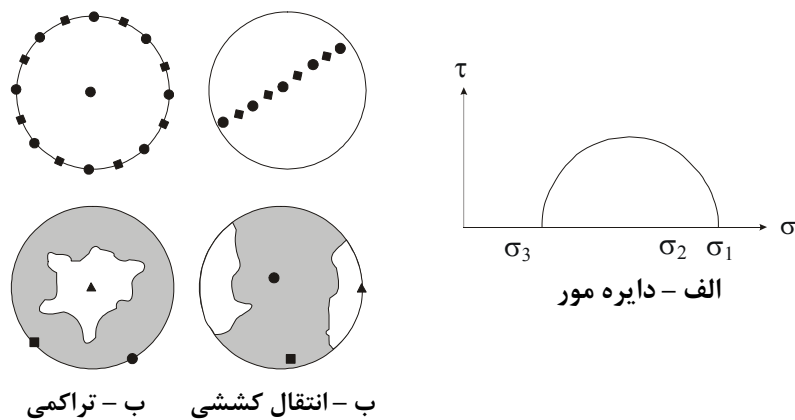
#### شکل ۷- دایره مور و تیپ دگر ریختی در شرایط $R=0$

ب - در صورتیکه مکان هندسی محورهای فوق قائم باشد تیپ دگر ریختی انتقال تراکمی (Trans Pressional) می باشد.

۳ -  $R = 1$  در این صورت  $\sigma_1 = \sigma_2$ . شکل بیضوی تنش محوری و کلوچه ای (axial & oblate) بوده و دایره مور بطور ظاهری شبیه سیستم های دو محوری است (شکل ۷-الف). توزیع محورهای  $\sigma_1$  و  $\sigma_2$  روی دایره بزرگ استریونت بوده، دو حالت انتهائی آن بصورت زیر است:

الف- در صورتیکه مکان هندسی  $\sigma_1$  و  $\sigma_2$  افقی باشد تیپ دگر ریختی بصورت تراکمی شعاعی (Radial Compressional) می باشد.

ب- در صورتیکه مکان هندسی محورهای فوق قائم باشد تیپ دگر ریختی بصورت انتقال کششی (Trans Extentional) می باشد.



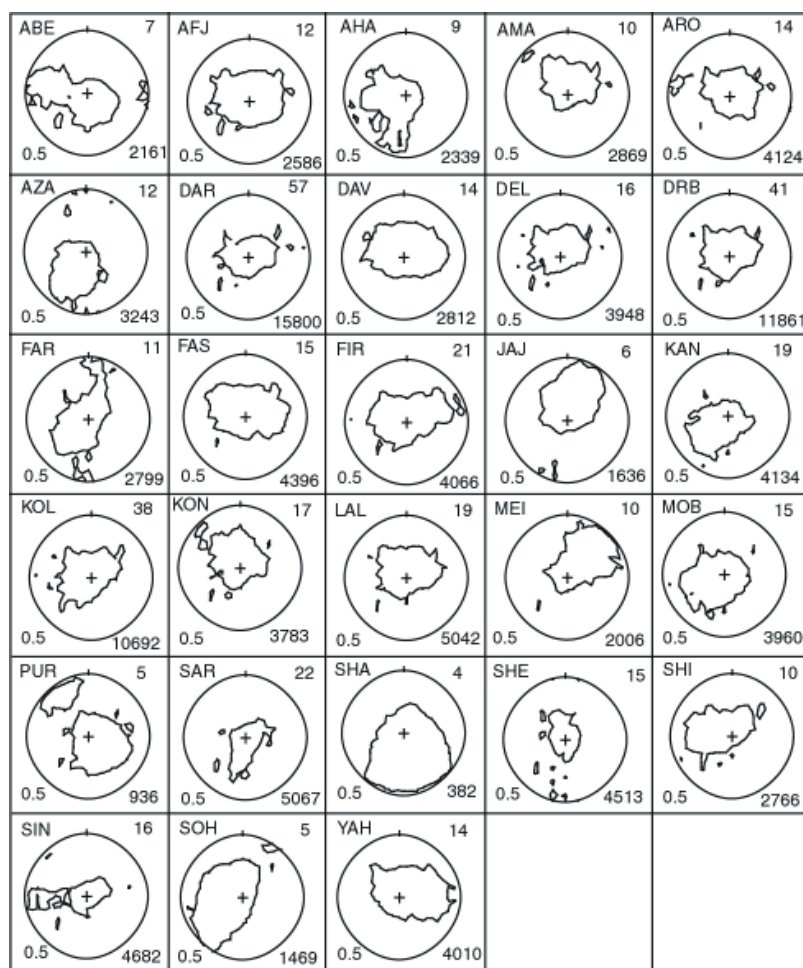
شکل ۸- دایره مور و تیپ دگریختی در شرایط  $R=1$ .

۲-۱۶- رائه مدل تیپهای دگریختی در بخش جنوبی البرز مرکزی

در ۲۸ محدوده در بخش جنوبی البرز مرکزی (نقشه ۱) تیپهای دگریختی مورد تجزیه و تحلیل استریو گرافیکی قرار گرفتند شکل ۹. کلیه تصاویر در نیمکره پائین شبکه اشمیت ترسیم و فاصله کنتوری ۰.۵ روی آنها اعمال گردیده است. از خط کنتور مذبور بطرف داخل توزیع موقعیت بزرگترین محور اصلی تنفس دیرین قرار می‌گیرد. در هر مربع گوشه بالا سمت چپ سه حرف اختصاری نام محدوده مورد مطالعه و سمت راست تعداد داده‌های برداشت شده روی زمین (صفحه برش با خش روی آن) را مشخص می‌کند. گوشه پائین سمت چپ فاصله مناسب‌ترین کنتور و سمت راست تعداد داده‌های پردازش شده را نشان می‌دهد.

تعداد داده‌های پردازش شده بصورت توانی نسبت به داده‌های برداشت شده افزایش می‌یابد. بعنوان مثال کمترین و بیشترین تعداد برداشت برتریب مربوط به محدوده‌های شهرستانک (SHA) و درکه (DAR) ۴۰ و ۵۷ می‌باشد که پس از پردازش تعداد مذبور به ترتیب به ۳۸۳ و ۱۱۸۶ ارتقاء یافته است.

با مقایسه مدل‌های استریو گرافیکی تیپهای دگریختی با حالات ایده‌آل بوضوح می‌توان نتیجه گرفت در کلیه محدوده‌های مورد مطالعه تیپ دگریختی بصورت تراکمی شعاعی است که کمی مولفه انتقال تراکمی دریافت کرده است، مولفه مذبور بویژه در محدوده فرخزاد (FAR) و سینک (SIN) خود را بهتر نشان می‌دهد. نتیجه این نوع دگریختی برپائی شدید در راستای سطوح برش و ستبرائی پوسته زمین در این بخش از البرز می‌باشد.



شکل ۹- تصاویر استریوگرافیک تیپهای دگر ریختی در بخش جنوبی البرز مرکزی.

از نظر سینماتیک شرایط حاکم بر بخش جنوبی البرز مرکزی در صورتیکه از دریچه دو بعدی به آن نگریسته شود در طبقه‌بندی دو بعدی بیضی‌های استرین حاصل در میدان 3 (field 3) رمزی قرار می‌گیرند (Ramsay, 1983). به استناد نقشه ۱ از آنجا که روند طولی گسلهای اصلی منطقه مورد مطالعه تقریباً شرقی- غربی است اوجگیری منطفه در این راستا از دید دینامیکی و سینماتیکی امری کاملاً طبیعی است.

### نتیجه گیری

استفاده از روش‌های گوناگون در تعیین وضعیت تنش‌های دیرین در بخش جنوبی البرز مرکزی نشان می‌دهد که مناسب‌ترین روش، تحلیل صفحه گسل می‌باشد. در صورتیکه توزیع داده‌ها از نظر آماری همگن باشد با تعیین موقعیت بردارهای ویژه مربوط به توزیع داده‌ها صحت تشخیص موقعیت محورهای اصلی تنش می‌تواند مورد تائید قرار گیرد. در مناسب‌ترین حالت همواره بردار ویژه  $\mathbf{V}_3$  با  $\sigma_3$  هم‌خوانی دارند. با در اختیار داشتن وضعیت دقیق محورهای اصلی تنش و فاکتور شکل تیپ دگریختی در این بخش از البرز تراکمی شعاعی مشخص می‌شود که عامل اصلی اوج‌گیری البرز در این منطقه است.

### References

- Angelier, J., (1979) *Determination of the mean directions of stresses for a given fault population*, Tectonophysics, **56**, T17-T56
- Angelier, J., (1983) *analyses quantitative des populations de jeux de failles*, Bull., Soc., France, **5**, 661-678.
- Angelier, J., (1988) *From orientation to magnitudes in paleostress determination using fault slip data*, Journal of Structural Geology, **11**(1/2), 37-50.
- Lisle, R., (1989) *The statistical analysis orthogonal orientation data*, Journal of Geology, **97**, 360-364.
- Pfiffer,O.A., & Burkhard, M., (1987) *Determination of paleostress axes orientation from fault,twin and earthquake data*, Anales Tectonicae, **8**, 48-57.
- Ramsay,I.G., & Huber.M.I., (1983) *The tecniques of modern structural geology* vol.**1**, Academic Press, inc., London.
- Saitot, A., & Angelier, J., (2000) *Palio-Quaternary paleostress regimes and relation to structural development in the Kertch-Tanian(Ukraine and Russia)*, Journal of Structural Geology, **22**, 1049-1064
- Scheidegger, A.E., (1965) *On the ststistics of the orientation of bedding planes,grain axis and similar sedimentological data*, US. Geol. Survay, paper **525c**, 164-167.
- Volmer, f.w., (1989) *An analysis of orthogonal orientation data*, Journal of Geology, **97**, 360-364.
- Woodcock, N.H., (1977) *Specification of fabric shapes using an eigenvalue method*, Geological Survey of America Bulletin, **88**, 1231-1236.
- Yamaji, A., (2000) *The multiple inverse method :a new technique to separate stresses from heterogenous fault-slip data*, Journal of Structural Geology, **22**, 441-452.